

1. 拘束条件を持つ構造系の解式

変形法あるいはFEMにおいて、用意された節点の間に線形の拘束条件がある場合について考えてみる。たとえば i 節と j 節が剛体で結ばれていたものとすると、 $u_i - Y\phi_i - u_j = 0$, $v_i + X\phi_i - v_j = 0$, $\phi_i - \phi_j = 0$ (ただし、X, Y は i, j 節の座標を (x_i, y_i) , (x_j, y_j) とすると、 $X = x_j - x_i$, $Y = y_j - y_i$) なる関係が考えられる。各節点には 3 ~ 6 の自由度があるが、これらを区別して表わすことは厄介であるだけ、本論文の主目的から免れたので、すべての節点の変位に最初から一貫番号をつけて u_1, u_2, \dots, u_n と表わすことになると、上記の線形の拘束条件は、一般に $b_{i1}u_1 + b_{i2}u_2 + \dots + b_{in}u_n = 0$ ($i=1 \sim r$, r は拘束条件の数) と書くことができる。これを簡単に式(1)のように書き、また拘束条件をつけた構造系の解式を簡単に式(2)のように書くこととする。

$$\mathbf{f}^T \mathbf{u} = 0 \quad \dots \dots \quad (1)$$

$$\mathbf{K}^T \mathbf{u} = \mathbf{P} \quad \dots \dots \quad (2)$$

式(1)の拘束条件をつけた構造系のポテンシャル・エネルギーは、入力 Lagrange 乗数を要素とするベクトルとして

$$\pi_p = \frac{1}{2} \mathbf{u}^T \mathbf{K}^T \mathbf{u} - \mathbf{u}^T \mathbf{P} + \lambda^T \mathbf{f}^T \mathbf{u} \quad \dots \dots \quad (3)$$

と書けるが、この π_p の極値を取る解が、拘束条件のついた構造系の解である。式(3)を \mathbf{u} と λ について整理すると

$$\delta \mathbf{u}^T (\mathbf{K}^T \mathbf{u} - \mathbf{P} + \mathbf{f}^T \lambda) + \delta \lambda^T (\mathbf{f}^T \mathbf{u}) = 0 \quad \dots \dots \quad (4)$$

が得られるが、さらにかっこ内を 0 とおくと、次の解式が得られる。

$$\left. \begin{array}{l} \mathbf{K}^T \mathbf{u} + \mathbf{f}^T \lambda = \mathbf{P} \\ \mathbf{f}^T \mathbf{u} = 0 \end{array} \right\} \quad \dots \dots \quad (5) \quad \text{または} \quad \begin{bmatrix} \mathbf{K} & \mathbf{f}^T \\ \mathbf{f} & 0 \end{bmatrix} \begin{bmatrix} \mathbf{u} \\ \lambda \end{bmatrix} = \begin{bmatrix} \mathbf{P} \\ 0 \end{bmatrix} \quad \dots \dots \quad (6)$$

2. 最密解

式(5) または(6) の解を求める方法はいくつかの提案があるが、いずれも解を得るまでの手順が複雑で、汎用計算のプログラムには組込むには向きである。そこで次の解法を提案する。まず式(5)から \mathbf{u} を消去して入を求める、これを式(1)の入に代入すると

$$\mathbf{K}^T \mathbf{u} = \mathbf{P} - \mathbf{f}^T (\mathbf{K}^{-1} \mathbf{f}^T)^T \mathbf{K}^{-1} \mathbf{P} \quad \text{または} \quad \mathbf{u} = \{\mathbf{K}^{-1} - \mathbf{K}^{-1} \mathbf{f}^T (\mathbf{K}^{-1} \mathbf{f}^T)^T \mathbf{K}^{-1}\} \mathbf{P} \quad \dots \dots \quad (7)$$

が得られるが、式(7)を実際に計算するには

$$\mathbf{K} \mathbf{x} = \mathbf{P}, \mathbf{K} \mathbf{y} = \mathbf{f}^T \text{ を解いて } \mathbf{x}, \mathbf{y} \text{ を求め } \mathbf{u} = \mathbf{x} - \mathbf{y} (\mathbf{f}^T \mathbf{y})^{-1} \mathbf{f}^T \mathbf{x} \quad \dots \dots \quad (8)$$

とすればよい。 $\mathbf{K} \mathbf{x} = \mathbf{P}$, $\mathbf{K} \mathbf{y} = \mathbf{f}^T$ は、拘束条件のない構造系の解式で右辺の荷重項を要素ただけであるから構造解析用のプログラムがあらかじめ解くことは容易である。また、拘束条件の数が少なければ、行列 $\mathbf{f}^T \mathbf{y}$ の元素を小さいので、この行列の逆行列を求めることが困難ではない。

3. 実用的解法

式(5)を解くことが困難な理由は、係数行列の(2,2)小行列が 0 になってしまっておりである。0 のかわりに微小な値を対角線上に並べた対角行列 \mathbf{E} を用いて下の左のようにし、この式から入を消却すると下の右のようになる。

$$\begin{bmatrix} \mathbf{K} & \mathbf{f}^T \\ \mathbf{f} & \mathbf{E} \end{bmatrix} \begin{bmatrix} \mathbf{u} \\ \lambda \end{bmatrix} = \begin{bmatrix} \mathbf{P} \\ 0 \end{bmatrix} \quad \dots \dots \quad (9) \quad \lambda = +\mathbf{E}^{-1} \mathbf{f}^T \mathbf{u} \quad \dots \dots \quad (10)$$

$$(\mathbf{K} + \mathbf{f}^T \mathbf{E}^{-1} \mathbf{f}^T) \mathbf{u} = \mathbf{P} \quad \dots \dots \quad (11)$$

式(10)は、入の拘束条件をつけた節点のバネ反力を、それが 0 なら定数であることを意味していき、また式(11)は、その構造系は上記のバネを附加した系の解式であることを意味していき。式(8)を使うべきか、式を十分

小さくとつて式(11)を使うべきかは、判断の分れる所であるが、著者のが作ったプログラムはバネが自由に入れられないようになっているので、後者の方が都合がよ。

式(11)を使うとすると、その道どうのよろにくるかが問題である。理論的には、 ε を0に($\varepsilon \rightarrow \infty$)近づければ近づける程、正解に近づくと考えられる。しかし、電算機で計算する場合は、 ε を無限に大きくする必要はない。使用する電算機によって異るが、 ε を一定値以上にすると無限大と同じ働きをするようになることを想われる。このことは次の事例によつてもうかがわることである。

(1) Felippa は式(6)の特別な場合について論文を発表していながら、その計算結果を見ると UNIVAC 1110 の場合では $\varepsilon' = 2^{27} \text{ norm}(K)$ 、CDC 6600 の場合は $\varepsilon' = 2^{48} \text{ norm}(K)$ とされ、 ε' は無限大と同じ働きをするところでもよい ($2^{27}/10^{81}$, $2^{48}/10^{144}$)。

(2) 变形法のプログラムで、部材の断面積を 1000 倍程度になると、左中角法の解と同様結果が得られることが多くの数値実験から知られていく。

(3) 電算機を使用し始めた初期の時代には、支点処理の代りに曲げ剛性の 100~1000 倍のバネ定数を持つバネで固定端の代用をした報告がかなりあった。

(4) 行列式の値が 0 である係數行列を持つ建立一次方程式は、理論的には解くことが出来ないが、係數行列の要素の有効桁数を少なくてすむと解ける場合がある。たとえば、ボックス・ラーメンを解くための左中角法の解式はこの種の連立一次方程式で出るが、昔から設計計算に使われており問題はない。

4. 数値実験

式(11)の ε' の値を種々にかえてこれを解き、無限大とみなすかとくらべる ε' の値をさがしてみた。以下にこの数値実験の一部を紹介する。使用した電算機は、本学の FACOM 230-45 である。

ε'	y_1	y_2	y_3
10^3	0.5×10^{-3}	0.09891	0.1434
10^4	0.5×10^{-4}	9826	1429
10^5	0.5×10^{-5}	9822	1429
10^6	0.5×10^{-6}	9821	1429
10^7	0.5×10^{-7}	9821	1429
∞	0	9821	1429

図1 ε' と無限大の比較

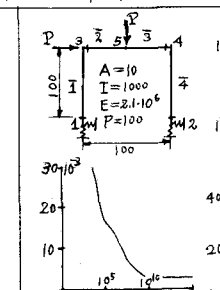


図2 バネ支持と單純支持(ヤ1)

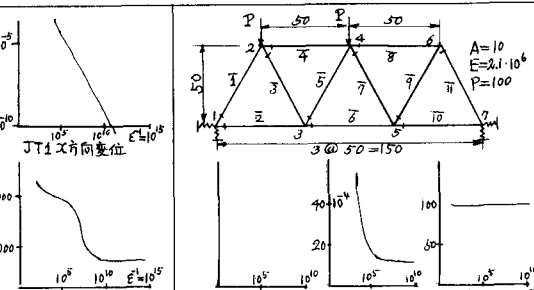


図3 バネ支持と單純支持(ヤ2)

(図1) 無限大とみなされた ε' の大きさを求めるための数値実験。本計算の有効桁数は 23bit(6.4桁)。

(図2,3) 単純支持とバネ支持における ε' を次第に大きくなる場合。拘束条件は $x_1=y_1=x_2=y_2=0$ 。

図2 以下は一部倍精度(有効桁数 55bit, 16.5桁)を用いた。

(図4) 中間ヒンジをバネにかえた場合。拘束条件は $x_4-x_8=0$, $y_4-y_8=0$ 。

(図5) 刚域を拘束条件にかえた場合。拘束条件は $x_3-\bar{x}_8-x_6=0$, $y_3-y_6=0$, $\bar{x}_3-\bar{x}_6=0$ 。

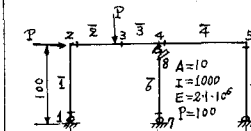


図4 中間ヒンジの拘束条件

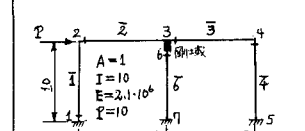


図5 刚域の拘束条件

* R.H. MacNeal "The NASTRAN Theoretical Manual" NASA SP-221(01), (72); ** B.E. Greene "Application of Generalized Constraints in the Stiffness Method of Structural Analysis" AIAA Journal 4-9 ('66) *** C.A. Felippa "Error Analysis of Penalty Function Techniques for Constraint Definition in Linear Algebraic Systems" Int. J. NME Vol.11(3) **** 大地"マトリックス構造解析"コロ社, p164 ('77)